



## تعیین پراکندگی اندازه و شکل بلورهای پلازیوکلاز و مدت اقامت آنها در توده آذرین چاه موسی (جنوب شهرود)

عاطفه حسینی، مریم شبیبی\*

گروه پترولئومی و زمین‌شناسی اقتصادی، دانشکده علوم زمین، دانشگاه صنعتی شهرود، شهرود، ایران

(دریافت مقاله: ۹۸/۱۲/۲۶، نسخه نهایی: ۹۹/۵/۱)

چکیده: به دلیل اهمیت بلورهای پلازیوکلاز در بازسازی فرایندهای سردشدن ماقما، پراکندگی اندازه و شکل بلوری این کانی‌ها با استفاده از روش کمی پراکندگی اندازه بلور (CSD) برای توده نیمه عمیق چاه موسی (شمال غرب ترود، استان سمنان) بررسی شد. شبیب نمودارهای CSD، لگاریتم طبیعی توزیع پراکندگی چگالی تراکمی بلور (n) نسبت به طول بلور (L)، نشان می‌دهد که درشت بلورهای پلازیوکلاز در این توده آذرین دارای نرخ هسته‌بندی  $10^{-8}$  تا  $10^{-9} \text{ mm/s}$  بوده و در گستره زمانی ۱۱۸/۶۲ تا ۶۳۰/۷ سال در آشیانه ماقمایی رشد کرده‌اند. مدت اقامت محاسبه شده با ماهیت نیمه عمیق نمونه‌های مورد بررسی همخوانی دارد. همچنین، نمودارهای CSD فرایند آمیختگی جمعیت بلوری را نشان می‌دهند و بیانگر دوره‌های متعدد تبلور در محفظه‌های ماقمایی متفاوت است. نتایج حضور دست کم دو جمعیت بلوری را نشان میدهند: درشت بلورهایی که طی سرد شدن مذاب تشکیل شده‌اند و آنهایی که طی برداشته شدن فشار با سرعت هسته‌بندی متفاوتی شکل گرفته‌اند.

واژه‌های کلیدی: پراکندگی اندازه بلور (CSD)، پلازیوکلاز، چاه موسی.

هسته‌بندی بلور، سرعت سردشدن ماقما و شناختی مهمترین فرایندها طی انجامد به ویژه نقش نسبی جدایش، تراکم و درشت‌شدنگی بافتی (بلغ استوالد) و آمیختگی جمعیت‌های بلوری متفاوت در ماقما استفاده می‌شود [۶،۵]. از مهمترین پژوهش‌ها پیرامون CSD که در ایران انجام شده است می‌توان به کارهای مسعودی و همکاران [۷]، ریسی و همکاران [۸]، پورخرسندی و همکاران [۹]، زاد صالح و پورخرسندی [۱۰] و آیتی و مهدوری [۱۱] اشاره کرد. در این پژوهش، نتایج بررسی‌های کمی بافت و توزیع اندازه بلورهای پلازیوکلاز به منظور محاسبه مدت اقامت و سرعت هسته‌بندی آنها در توده نیمه عمیق چاه موسی (شمال غرب ترود) استفاده شده است. همچنین فرایندهای تکامل ماقمایی برپایه نتایج برآمده از نمودارهای CSD بررسی شده است.

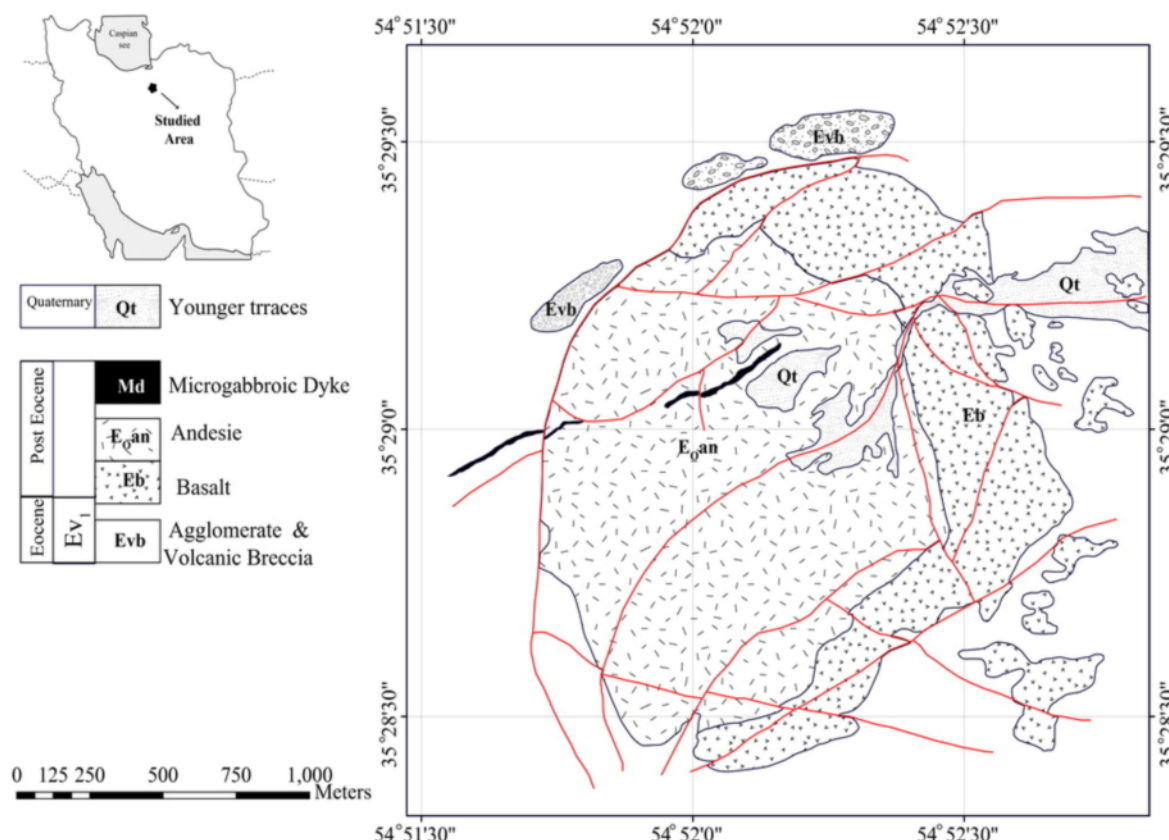
توده نیمه عمیق و بیضوی شکل چاه‌موسی با مساحت  $۳/۴5 \text{ km}^2$  در بخش شمالی پهنه ساختاری ایران مرکزی در

### مقدمه

بافت سنگ‌های مختلف با نرخ سرد شدن، جریان سیال‌ها، ترکیب مایع، نرخ رشد و هسته‌بندی و ته‌نشینی یا شناوری بلورها کنترل می‌شود [۱]. در مجموع، نرخ رشد و هسته‌بندی بلور، ابانت بلور و جدایش، درشت‌شدنگی، آمیختگی ماقمایی و ماقمایهای چند خاستگاهی، فرایندهای سنگ‌شناسی نامیده می‌شوند که بویژه از بررسی‌های بافتی سنگ‌ها مشخص می‌شوند [۲]. با بررسی توزیع اندازه بلور در سه بعد (CSD)، رابطه بین اندازه بلور و چگالی تراکمی بلور تعیین شده و اطلاعات بسیاری از چگونگی تبلور سنگ‌ها به دست می‌آید. به منظور محاسبه پراکندگی اندازه بلور مارش و کشمن [۴،۳] نموداری براساس لگاریتم طبیعی چگالی تراکمی بلور (n) نسبت به طول بلور (L) طراحی کردند که در آن خط به دست امده CSD نامیده می‌شود. روش پراکندگی اندازه بلور به منظور برآورد شرایط فیزیکی تبلور، زمان تبلور و سهم حجمی بلورها، رشد و

بر اساس نتایج بررسی‌های بافت مغناطیسی [۱۳] مشخص شد که توده نیمه عمیق موردن بررسی دارای ترکیب غالب آندزیت پورفیری بوده و در محل تماس واحد برش‌های آتشفسانی و توف‌های قرمز واحد آذرآواری-آتشفسانی ائوسن ( $E_{vb}$ ) جایگیری نموده تزریق شده است. این توده نیمه عمیق به دو دسته قابل تقسیم است. لبه شرقی این توده نیمه عمیق در صحراء رنگ تیره‌تری نسبت به سایر بخش‌ها دارد و ترکیب آن بازالتی است، در حالیکه بیشتر آن ترکیب غالب آندزیت دارد (شکل ۱). درشت بلورهای پلاژیوکلاز، سوزن‌های آمفیبول و مقادیر کمتر بیوتیت مهم‌ترین کانی‌های موجود در این سنگ‌ها هستند. در صحراء، اندازه این بلورها از بخش‌های لبه‌ای به سمت مرکز بزرگ‌تر می‌شود. بررسی بافت مغناطیسی نشان می‌دهد که این توده نیمه عمیق در یک پهنه برشی راستالغز به روش بالونی شدن (تورم درجای مخزن) در شرایط زمین ساختی ترافشارشی جایگزین شده است [۱۳].

نوار ماگمایی ترود - چاه شیرین قرار دارد. زمین شناسی این توده نیمه عمیق و سنگ‌های کنار آن بررسی شده است [۱۲، ۱۳]. بر اساس نتایج این بررسی‌ها زمین‌شناسی و به ویژه شواهد ساختاری موجود به نظر می‌رسد که توده نیمه عمیق چاه موسی با ترکیب غالب آندزیت پورفیری نخست با ترکیب در توالی آذرآواری ائوسن تزریق شده و سپس میزبان کانه‌زایی مس و دگرسانی‌های گرمایی متعددی شده است. بیشتر واحدهای سنگی ناحیه موردن بررسی را واحدهای آذرآواری-آتشفسانی ائوسن ( $E_{vb}$ ) تشکیل می‌دهند (شکل ۱). این سنگ-ها دارای ماهیت آذرآواری هستند و از توف قرمز رنگ، کنگلومرا، جوش آتشفسانی و برش آتشفسانی تشکیل شده‌اند. در بخش‌های بالاتر این واحد، یک افق جوش آتشفسانی دیده می‌شود که قطعه‌های متنوع آذرین و رسوبی به ویژه قطعه‌های کاملاً گردشده کربناتی در آن وجود دارند. بر اساس ویژگی‌های زمین‌شناسی، ساختاری و ژئوشیمیابی، این سنگ‌ها در جایگاه زمین ساختی واسطه به فروزانش و در راستای یک کرانه فعال قاره‌ای با ماهیت آهکی قلیایی تشکیل شده‌اند [۱۲].

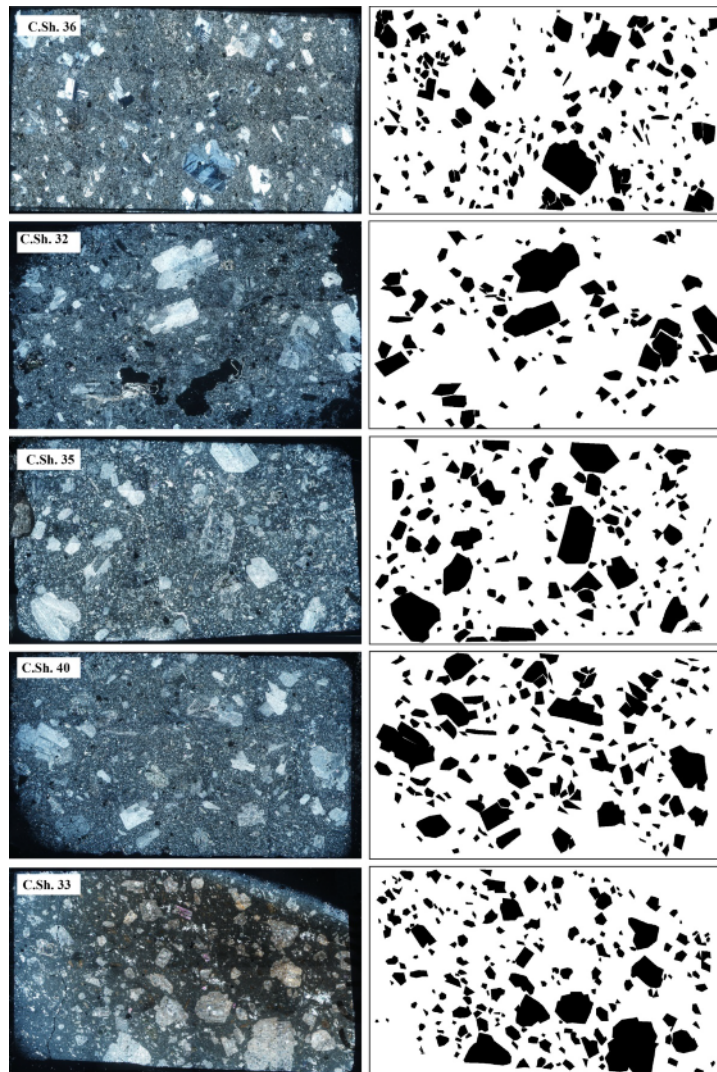


شکل ۱ نقشه زمین‌شناسی توده نیمه عمیق چاه موسی و معرفی واحدهای سنگی رخنمون یافته.

داده‌های دوبعدی هر بلور (طول، عرض، مساحت و ...) استخراج شدند. با معرفی واحد و مقیاس هر تصویر میکروسکوپی در این نرمافزار، مساحت اندازه‌گیری شده کلی هر یک از تصاویر محاسبه شده است. در مرحله بعد، برای تبدیل داده‌های به دست آمده از دو بعد بلورهای پلازیوکلاز در مقطع نازک به مقادیر واقعی سه بعدی آنها، از نرمافزار تخصصی correction CSD استفاده شد. برای محاسبه CSD براساس اندازه‌گیری‌های 2D و CSD correction، میانگین شکل بلوری به صورت نسبت تصویر بلور L:S:I: (به ترتیب محور کوچک، متوسط و بزرگ بهترین بیضی منطبق با بلور) بدست می‌آید [۱۴].

### روش بررسی

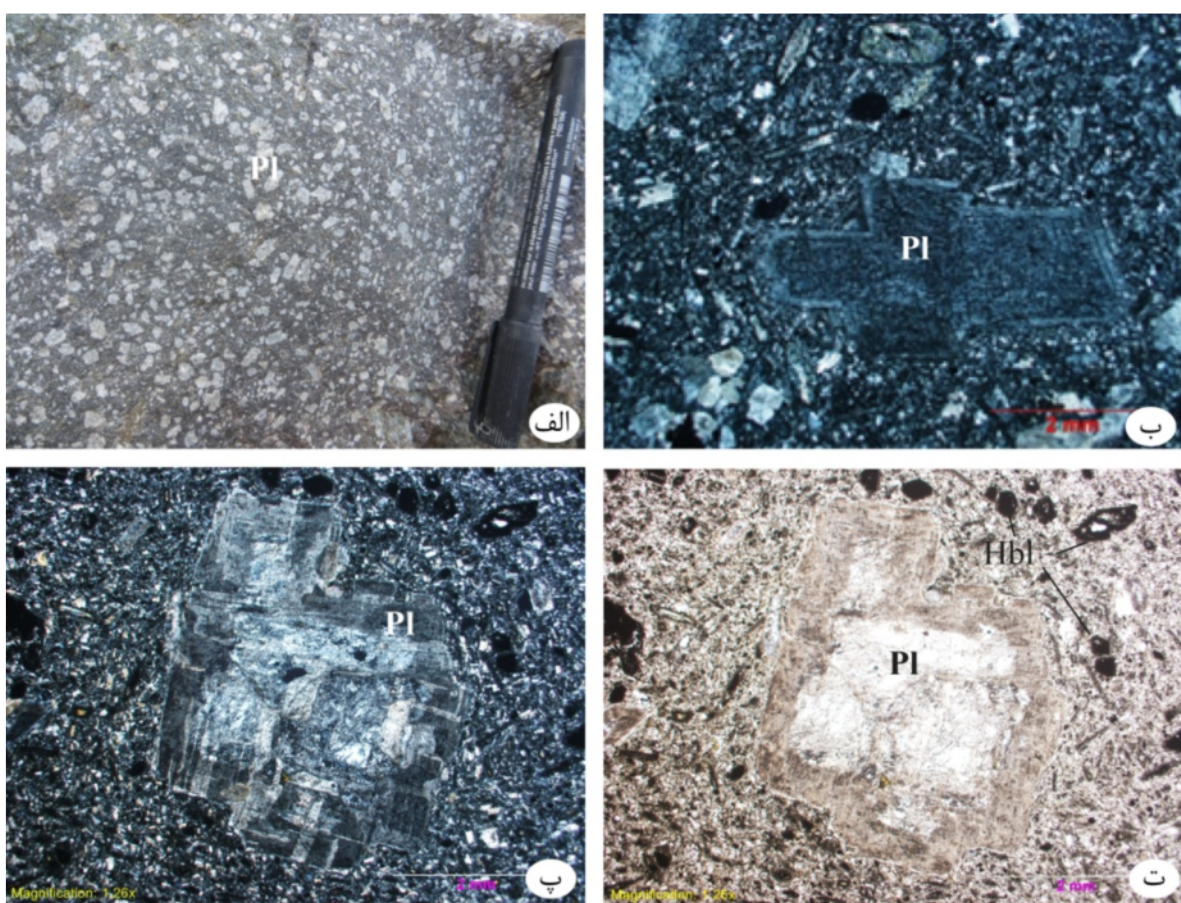
به منظور تحلیل کمی پراکندگی اندازه بلورهای پلازیوکلاز، از بین بیش از ۸۰ نمونه سنگی برداشت شده از بخش‌های مختلف توده نیمه عمیق چاه موسی، ۶ نمونه از لبه و ۵ نمونه از بخش‌های مرکزی آن برای بررسی CSD انتخاب شدند. بافت‌های موجود با استفاده از روش مرجع [۵] تحلیل شد. پس از تهیه و بررسی مقاطع نازک میکروسکوپی، تصاویر میکروسکوپی بسیاری با بزرگنمایی  $125\times$  از هر مقطع تهیه شد. این تصاویر در نرم افزار Photoshop به صورت موزائیکی کنار هم قرار داده شده و تصاویری کلی از هر مقطع نازک سنگی آمده شد (شکل ۲). در ادامه با نرمافزار JmicroVision، همه پلازیوکلازهای موجود در هر مقطع به طور دستی رسم شده (شکل ۳) و



شکل ۲ تصاویر موزائیکی شده (سمت چپ) و سیاه و سفید (سمت راست) تهیه شده از مقاطع نازک میکروسکوپی توده نیمه عمیق چاه موسی (X<sub>125</sub>). مقاطع در تیغه‌های شیشه‌ای ۲۵ در ۷۵ میلیمتر مربع تهیه شده‌اند.

$10^{-9}$  mm/s در نظر گرفته شد [۱۵] و زمان رشد و هسته‌بندی بلورها و میانگین زمان اقامت بلور با استفاده از رابطه مرجع [۱۶] تعیین شد. پلازیوکلаз فراوان ترین کانی این توده نیمه عمیق را تشکیل می‌دهد. این بلورها اغلب به صورت شکل دار تا نیمه شکل دار هستند و اندازه آن‌ها از ۱ میلی‌متر در ریزسنگ‌ها تا بیش از یک سانتی‌متر در درشت بلورها متغیر است (شکل-های ۳ب و ۳ث). پلازیوکلازها به صورت مجرأ و انباسته‌های گلومرپورفیری دیده می‌شوند. همچنین بافت‌های نا متعادل مانند بافت غربالی (شکل ۳ب)، ماکل مرکب و منطقه‌بندی ساده تا پیچیده (شکل‌های ۳پ و ۳ت) و یا روهمرشدی رورشده در بلورهای پلازیوکلاز فراوان دیده می‌شوند. همه این شواهد گواهی بر رشد چند مرحله‌ای و فرایند آمیختگی طی تبلور مخزن هستند.

نسبت ابعاد شکل فرضی (بهترین بیضی منطبق با بلور) برای بلورهای پلازیوکلاز در هر یک از مقاطع بررسی شده با نرم‌افزار CSDslice به دست آمد. بهترین بیضی منطبق با بلور به عنوان مدل انتخابی در نظر گرفته می‌شود. با توجه به شکل-دار بودن بیشتر بلورها، میزان گردش‌گی برای بلورهای پلازیوکلاز مورد بررسی  $3 \times 10^{-9}$  در نظر گرفته شد که بیانگر شکلی بین بیضی و متوازی الايلاس است. عامل شکل نیز متناسب با شکل بلورها (شکل‌های مکعبی ۱:۱؛ منشوری ۱:۱؛ تیغه-ای ۱:۱؛ صفحه‌ای ۱:۲:۵) تعیین شد. در پایان، طول و عرض همه بلورهای اندازه‌گیری شده در هر مقطع نازک (داده‌های دو بعدی هر بلور) در نرم‌افزار CSDslice فراخوانی شد و بهترین ابعاد بلوری و نمودار اندازه نسبت به چگالی تراکمی رسم گردید. یکای اندازه بلورها mm و برای چگالی انباسته  $mm^4$  است. در این پژوهش، نرخ رشد بلورهای پلازیوکلاز



شکل ۳ الف- ساخت پورفیری در سنگ‌های آندزیتی توده نیمه عمیق چاه موسی. ب- بلور پلازیوکلاز با منطقه‌بندی عادی (لبه آلبیتی) و رویه‌مرشدی رورشده؛ پ- بلور پلازیوکلاز با ماکل مرکب و منطقه‌بندی پیچیده؛ ت- تصویر پ در نور طبیعی.

## بحث و بررسی

فراوانی پلازیوکلاز به دلیل ثبت تاریخچه فرایندهای ماقمایی برای استفاده از روش پراکندگی اندازه بلور مناسب است. همچنین وجود ماکل، منطقه‌بندی و رورشی در پلازیوکلاز می‌تواند برای اثبات شرایط آمیختگی ماقمایی و دیگر فرایندهای مخزن ماقمایی کاربرد داشته باشد. پردازش و تحلیل توزیع اندازه بلورهای پلازیوکلاز برای ۱۱ نمونه از مقاطع نازک از مرکز و لبه توده مورد بررسی دربردارنده بلورهای قابل تشخیص و متمایز انجام شد. تصاویر مقاطع میکروسکوپی به همراه تصاویر دوتایی (سیاه و سفید) برای تعدادی از بلورهای پلازیوکلاز نمونه‌های مورد بررسی در شکل ۲ آورده شده است.

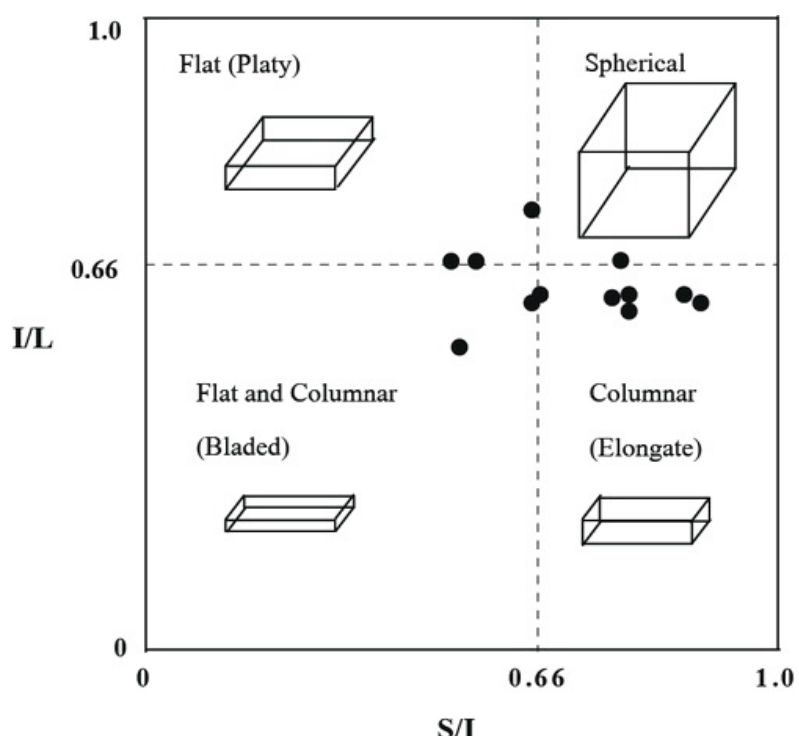
نتایج بررسی توزیع ابعاد دو بعدی (طول و عرض) برای ۱۸۷۳ بلور پلازیوکلاز اندازه‌گیری شده در مقایسه با نتایج استفاده از نمودار مرجع [۱۷] نشان می‌دهد که بیشتر بلورهای پلازیوکلاز در گستره بلورهایی به شکل منشوری و تعداد کمی از آنها در گستره تیغه‌ای و تخته‌ای قرار دارند (جدول ۱ و شکل ۴). نمودار توزیع عرض، طول دو بعدی برای هر نمونه (خط قرمز)،

به همراه بهترین شکل پیشنهادی مناسب توسط CSDslice تعیین شد (شکل ۵).

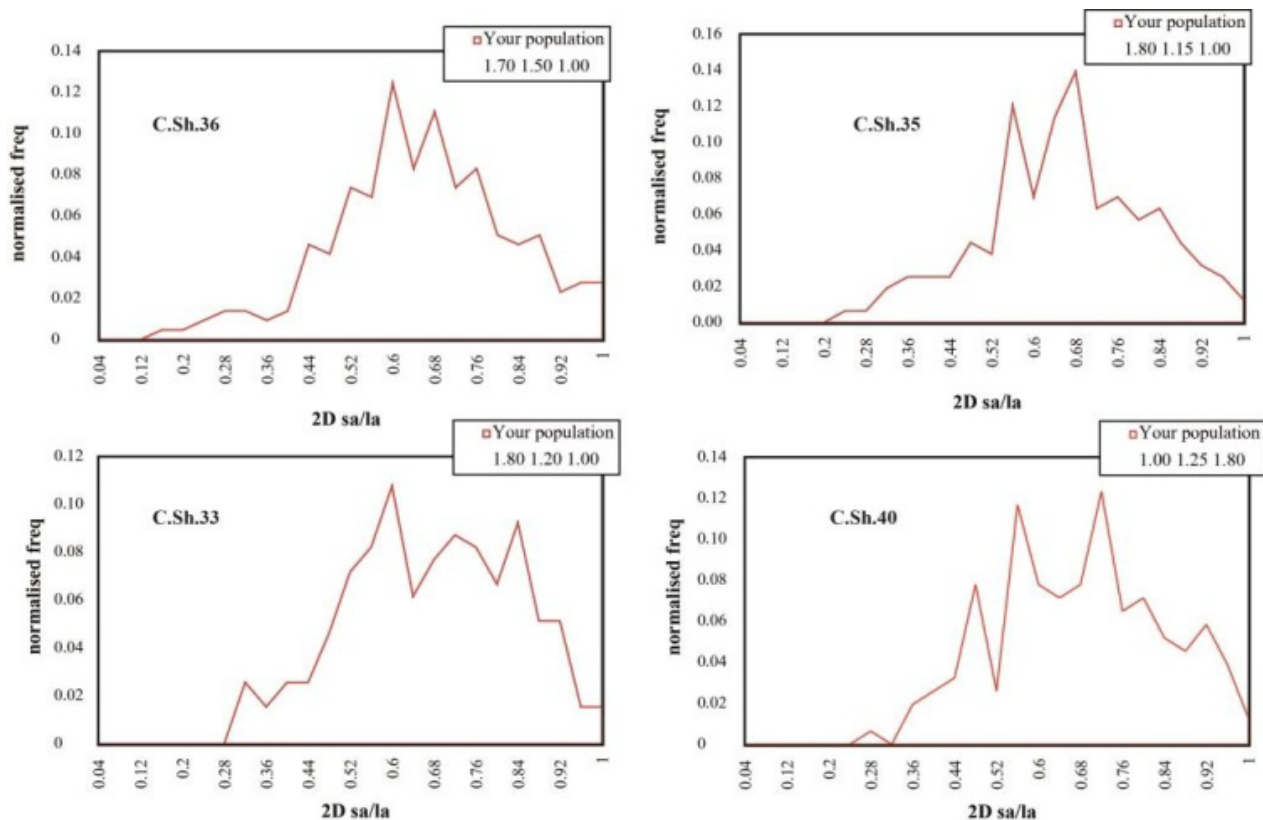
**نمودارهای پراکندگی اندازه بلور (CSD):** همه بررسی‌های CSD به تفسیر منحنی‌های به دست آمده در شرایط سرد شدن ماقمایی پردازد. در شکل ۶، جمعیت‌های مختلف بلورهای پلازیوکلاز و ارتباط آنها با منحنی‌های CSD نشان داده شده است [۱۸]. اگر منحنی CSD یک خط صاف و مستقیم باشد، فرایند سردشدن ساده ماقمایی را نشان می‌دهد و شکستگی و انحنا در نمودارهای CSD نشان دهنده دگرگونی در مخزن ماقمایی است [۱۶]. برای مثال، ورود یک ماقمایی جدید به مخزن موجب تغییر در دما، نرخ رشد اولیه و هسته‌بندی بلورها می‌شود. همچنین شبیه تند در نمودارهای CSD نشانگر نرخ هسته‌بندی و توقف کوتاه مدت و شبیه کم بیانگر زمان توقف طولانی و سرعت هسته‌بندی آهسته‌تر در محفظه ماقمایی است [۱۶]. بلورهای درشت در عمق بیشتر و بلورهای کوچک‌تر در مناطق سطحی و با سرعت تبلور بالاتر رشد کرده‌اند. منحنی‌های غیر خطی CSD حضور دست‌کم دو جمعیت بلوری را نشان می‌دهند [۱۹].

جدول ۱ پارامترهای شکل بلورها به همراه نسبت محور کوچک به متوسط (S/I) و محور متوسط به بلند (I/L) برای بلورهای پلازیوکلاز در نمونه‌های سنگی مورد بررسی.

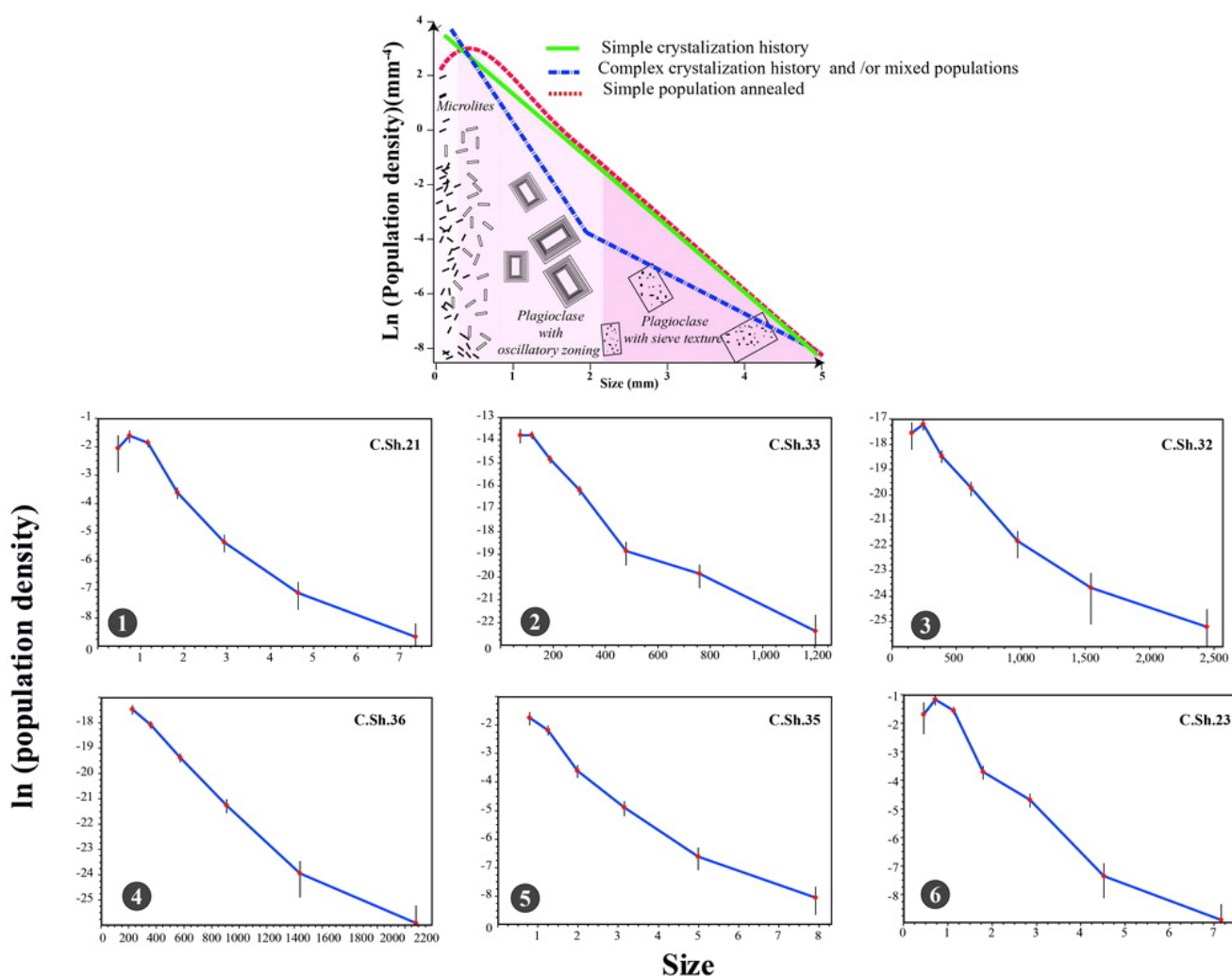
نمونه	ابعاد بلور	S/I	I/L	شکل بلور
CH۲۰	۱ ۱,۲ ۱,۸	۰,۸	۰,۶	منشوری
CH۲۱	۱ ۱,۱ ۱,۶	۰,۹	۰,۶	منشوری
CH۲۲	۱ ۱,۵ ۲,۱	۰,۶	۰,۷	تیغه‌ای
CH۲۳	۱ ۱,۲ ۱,۷	۰,۸	۰,۷	منشوری
CH۲۴	۱ ۱,۱ ۱,۶	۰,۹	۰,۶	منشوری
C.Sh۳۱	۱ ۱,۳ ۱,۹	۰,۷	۰,۶	منشوری
C.Sh۳۲	۱ ۱,۴ ۱,۷	۰,۷	۰,۸	تخته‌ای
C.Sh۳۳	۱ ۱,۲ ۱,۸	۰,۸	۰,۶	منشوری
C.Sh۳۵	۱ ۱,۱۵ ۱,۸	۰,۸	۰,۶	منشوری
C.Sh۳۶	۱ ۱,۵ ۱,۷	۰,۶	۰,۸	تیغه‌ای
C.Sh۴۰	۱ ۱,۵ ۲,۶	۰,۶	۰,۵	تیغه‌ای



شکل ۴ نمودار تعیین شکل سه بعدی بلورها، [۱۷] محور کوتاه به محور متوسط و (I/L) محور متوسط به محور بلند.



شکل ۵ نمودارهای عرض به طول نسبت به فراوانی رسم شده در نرم افزار CSDslice برای تعیین شکل دو بعدی بلورهای پلازبیکلار برخی از مقاطع مورد بررسی.



شکل ۶ (الف) نمودار تغییرات فراوانی و اندازه بلورها به صورت تابعی از زمان افامت آنها [۱۸-۱۳]. که شبیه منحنی CSD متناسب با تاریخچه تبلور تغییر می‌کند. ب) برخی از نمودارهای CSD رسم شده برای نمونه‌های آندزیتی توده نیمه عمیق چاه موسی.

در نرخ سرد شدن مagma، انباست بلوری و یا آمیختگی magma می‌باشد که شیب منحنی CSD متناسب با تاریخچه تبلور در مagmaهای طبیعی باشد [۱۵]. بلکه، این احتمال می‌تواند نشانه حضور دو جمعیت بلوری باشد که طی برداشته شدن فشار همراه با نظامهای هسته‌بندی جداگانه‌ای تشکیل شده‌اند [۱۵]. بالاًمدگی مشخص سمت چپ نمودار برای نمونه‌هایی چون ۲۱ و ۲۳ می‌تواند به دلیل درشت شدگی در اثر بالا بودن نرخ رشد بلوری باشد [۱۴]. وجود درشت بلورها و ریزسنجها در مقاطع مورد بررسی نشانگر شرایط متفاوت تبلور و تنوع بافتی است. با ابعاد مختلف (جدول ۲) نشان می‌دهند که این بلورها دست کم در چند مرحله متبلور شده‌اند. مقایسه نمودارهای CSD نمونه‌های آندزیتی مورد بررسی با مدل‌های CSD استاندارد [۱۸] پیشنهاد می‌کند که این نمودارها به دلیل تغییرات قابل

نمودارهای CSD رسم شده برای همه ۱۱ نمونه مورد بررسی صرف نظر از محل برداشت (مرکز یا لبه توده آذرین چاه موسی) بسیار شبیه هستند (شکل ۶). به جز نمونه شماره C.SH۳۶، منحنی سایر نمودارها تقریباً به سمت بالا دارد. که می‌تواند نشان‌دهنده هر یک از فرایندهای جدایش بلور طی تبلور، انباست، افزایش تبلور، انباست بلورهای کوچک و یا آمیختگی magma و جمعیت‌های بلوری باشد [۱۳، ۱۵]. بر اساس بررسی‌های تجربی، تقریباً رو به بالا نمی‌تواند نتیجه تغییر شکستگی موجود در برخی از نمودارهای CSD مقاطع بررسی شده نشان می‌دهد که روند تبلور و انجامات بلورها عادی نبوده و سرددشگی magma هم زمان با نوسان‌هایی در شرایط فیزیکی آن به رخ داده است. شبیه متفاوت نمودارهای CSD برای بلورهای

میانگین ابعاد شکل انتخابی برای بلورهای پلازیوکلاز، مدت اقامت ماقما در محفظه ماقمایی و سرعت هسته‌بندی مربوط به هر نمونه نرم‌افزار CSDcorrection محاسبه شد. سرعت هسته‌بندی بر اساس رابطه  $J = n_0 G$  محاسبه گردید که در آن،  $G$  میانگین نرخ رشد خطی و  $n_0$  چگالی هسته‌بندی در نقطه‌ای است که  $L$  به صفر میل می‌کند. مدت اقامت بلورهای پلازیوکلاز در محفظه ماقمایی و سرعت هسته‌بندی آنها که بر اساس شبی و عرض از مبدأ برای هر یک از نمودارهای توزیع اندازه بلور محاسبه شد در جدول ۲ آورده شده است.

شبی خطها با میانگین زمان اقامت بلور در سامانه ارتباط دارد و با استفاده از رابطه  $TR = -1/G * m * 31536000$  [۱۶] تعیین شد. در این رابطه،  $t$  زمان اقامت بلور در مخزن ماقما بر حسب سال،  $G$  نرخ رشد بلور بر حسب میلیمتر بر ثانیه،  $m$  شبی نمودار و عدد  $31536000$  برای تبدیل یکای ثانیه به سال است. نتایج نشان می‌دهد که مدت رشد بلورهای پلازیوکلاز و سرعت هسته‌بندی آنها در توده نیمه عمیق چاه موسی به ترتیب برابر با  $118,6$  تا  $630,7$  سال و  $1,5 \times 10^{-9}$  تا  $9,27 \times 10^{-9}$  است. زمان کمتر از  $1000$  سال است و با بلور بلورهای پلازیوکلاز در اعماق کم پوسته و ماهیت نیمه عمیق توده آذرین چاه موسی همخوانی دارد.

ملاحظه در شبی و تقریر به سمت بالا، شواهدی از جمعیت بلوری آمیخته دارند. این فرایند می‌تواند نشان دهنده دوره‌های متعدد توقف و تبلور در محفظه‌های ماقمایی متفاوت و درشت شدگی بلوری طی صعود ماقما باشد. جمع‌بندی شواهد بافتی و نتایج به دست آمده از تحلیل نمودارهای پراکنده‌گی اندازه بلورهای پلازیوکلاز (CSD) در منطقه چاه موسی نشانگر نوعی ناپایداری و عدم تعادل در محیط انجاماد و تبلور نهایی ماقماست. منطقه‌بندی در پلازیوکلاز نشان دهنده رشد و انحلال بلور بوده که ممکن است توسط تغییر در سرعت هسته‌بندی یا تغییر در ترکیب شیمیایی آن به دلیل پرشدن و خالی‌شدن دوره‌ای آشیانه ماقمایی و با آمیختگی ماقمایی صورت گرفته باشد.

برآورد زمان رشد و سرعت هسته‌بندی: با اندازه‌گیری ابعاد بلورها می‌توان سرعت رشد و هسته‌بندی (مدت رشد) بلور را محاسبه کرد. در شرایط عادی تبلور انتظار می‌رود که با رشد بلورها و بزرگتر شدن آنها، هسته‌بندی و چگالی انباشتی کاهش یافته و نمودار CSD شبی منفی داشته باشد. این در حالی است که با ورود یک ماقمای جدید به مخزن و آمیختگی ماقمایی، اشباع-شدگی در نتیجه هسته‌بندی و تراکم در اثر متابولور شدن بلورهای دانه ریز افزایش می‌یابد که این امر باعث ایجاد شبی مثبت و شکستگی در منحنی CSD می‌شود. در این پژوهش،

جدول ۲ شبی، عرض از مبدأ و نرخ هسته‌بندی و زمان رشد برای هریک از نمودارهای CSD رسم شده

نمونه	شبی	عرض از مبدأ	نرخ هسته‌بندی $\text{mms}^{-1}$	زمان رشد Year
CH۲۰	-1,۰۵	-1,۵۰	$1,5 \times 10^{-9}$	۳۳۱,۱۲
CH۲۱	-1,۳۵	-0,۶۲	$6,2 \times 10^{-10}$	۴۲۵,۷
CH۲۲	-0,۰۲	-9,۲۷	$9,27 \times 10^{-9}$	۶۳۰,۷
CH۲۳	-1,۵۵	-0,۰۷	$7 \times 10^{-11}$	۴۸۸,۸
CH۲۴	-1,۴۴	-0,۴۸	$4,8 \times 10^{-9}$	۴۵۴,۱
C.Sh۳۱	-1,۳۴	-0,۶۵	$6,5 \times 10^{-9}$	۴۲۴
C.Sh۳۲	-0,۹۳۵	-1,۷۸	$1,78 \times 10^{-9}$	۲۹۶,۴۸
C.Sh۳۳	-۳۶,۵۹	1۵,۰۸	$1,5 \times 10^{-9}$	۱۲۸,۹۱
C.Sh۳۵	-1,۰۲	-1,۱۸	$1,18 \times 10^{-9}$	۳۲۱,۶
C.Sh۴۶	-0,۰۰۵	-1۶,۱۴	$1,6 \times 10^{-8}$	۱۷۶,۶
C.Sh۴۰	-۳۳,۶۷	1۴,۹۷	$1,4 \times 10^{-9}$	۱۱۸,۶

*Lake", Contributions to Mineralogy and Petrology, 92 (1988) 292-305.*

[5] Higgins M.D., "Quantitative textural measurement in igneous and metamorphic petrology", Cambridge University Press, United States of America (2006).

[6] Driscoll B.O., Donaldson C.H. Troll, V.R. Jerram, D.A. Emeleus, H., "An origin for harrisitic and granular olivine in the rum layered suite, NW Scotland: a crystal size distribution study", Journal of Petrology, 48 (2007) 253-270.

[7] Masoudi F., Ghorbani M., Rahimzadeh B., 2009 , "Study of physical conditions and magmatic evolution of volcanic rocks in East Of Qazvin", Iranian Journal Of Geology 3, Number 11, 67 – 75.

[8] Raeisi D., Dargahi S., Moeinzadeh H., Arvin M., "Using Numerical Modeling for Estimation of Rate of Nucleation and Growth Time of Plagioclase Microlites from Quaternary Gandom Beriyan Basaltic Flows", NE of Kerman. Journal of Geoscience, 22(85) (2012) 199-204. doi: 10.22071/gsj.2012.54042

[9] Pourkhorsandi H., Mirnejad H., Raiesi D., Hassanzadeh J., "Crystal size and shape distribution systematics of plagioclase and the determination of crystal residence times in the micromonzogabbros of Qisir Dagh, SE of Sabalan volcano (NW Iran)", Geologica Carpathica, 66, 4 (2015) 257-268 doi: 10.1515/geoca-2015-0024.

[10] Zadsaleh M., Pourkhorsandi H., "Quantitative textural investigation of trachyandesites of Damavand volcano (N Iran): Insights into the magmatic processes", Journal of African earth sciences 120 (2016) 238-247.

[11] Ayati F., Mahdevari S., "Investigation of crystal size distribution in igneous rocks: Guide to the magma evolution in magma chambers", Iranian Journal of Crystallography and Mineralogy 18 (3) (2010) 419-430.

[12] Imamjome A., Rastad E., Bouzari F., Rashidnezhad N., "An introduction to individual disseminated veinlet and vein mineralization system of Cu (Pb-Zn) in the Chah Musa and Gholle [I] Kaftaran mining district, eastern part of the Troud-Chah Shirin magmatic arc, Geosciences, Scientific Quarterly Journal, 18, 112-125 (in Persian) (2009).

[13] Seifivand A., Sheibi, "Ballooning emplacement and alteration of the Chah-Musa subvolcanic intrusion (NE Iran) inferred from magnetic susceptibility and fabric", Geological

### برداشت

نتایج به دست آمده از بررسی پراکندگی اندازه بلور (CSD) در توده نیمه عمیق چاه موسی نشان می‌دهد که بیشتر بلورهای پلازیوکلاز دارای شکل منشوری هستند و تغییر در اندازه طول آنها بیشتر از عرض است. همچنین مدت رشد بلورهای پلازیوکلاز و سرعت هسته‌بندی به ترتیب برابر با  $118/6$  تا  $630/7$  سال و  $9.27 \times 10^{-9}$  mm/s تا  $1.5 \times 10^{-9}$  mm/s است. شکستگی موجود در نمودارهای CSD مقاطع بررسی شده نشان می‌دهد که روند تبلور و انجاماد بلورها، عادی نبوده و سردشدنگی مانع زمان با نوسان‌هایی در شرایط فیزیکی آن رخ داده است. شبیه‌تغییر نمودارهای CSD برای بلورهای با ابعاد متفاوت نشان می‌دهند که این بلورها دست کم در چند مرحله متبلور شده‌اند. این امر با توجه به همیافتدی درشت بلورها و ریزنگها در مقاطع نازک میکروسکوپی تایید می‌شود. حضور جمعیت‌های بلوری مختلف نشان دهنده دوره‌های متعدد توقف و تبلور در محفظه‌های مانع می‌باشد. مسیر صعود مانگما به سطح زمین است. وجود بافت‌های گلومروپورفیری، غربالی و منطقه‌بندی در بلورهای پلازیوکلاز در توده نیمه عمیق چاه موسی نشانگر نوعی ناپایداری و عدم تعادل در محیط انجاماد و تبلور نهایی مانع می‌باشد.

### قدرتانی

نویسنده‌گان مقاله از آقایان دکتر داود رئیسی و مهندس محسن زادصالح به دلیل در اختیار گذاشتن نرم افزارهای لازم و راهنمایی‌های ارزشمند ایشان کمال تشکر را دارند.

### مراجع

- [1] Lofgren G. E., "The effect of nucleation on the basaltic textures. Abstracts with programs, Geological Society of America, 11 (1979) 467-468.
- [2] Higgins M. D., Roberge J., "Three magmatic components in the 1973 eruption of Eldfell volcano, Iceland: Evidence from plagioclase crystal size distribution (CSD) and geochemistry", Journal of Volcanology and Geothermal Research, 161 (2007) 247–260.
- [3] Marsh B., "Crystal size distribution (CSD) in rocks and the kinetics and dynamics of crystallization I", Theory Contributions to Mineralogy and Petrology, 99 (1988) 277–291.
- [4] Cashman K.V., Marsh B.D., "Crystal size distribution (CSD) in rocks and the kinetics and dynamics of crystallization II. Makaopuhi Lava

- [17] Zingg T., "Contribution to the gravel analysis (*Beitrag zur Schotteranalyse*)", Schweizerische Mineralogische und Petrographische Mitteilungen, 15 (1998) 38–140.
- [18] Zadsaleh M., Pourkhorsandi H., "Quantitative textural investigation of trachyandesites of Damavand volcano (N Iran): insights into the magmatic processes", Journal of African Earth Sciences, 120 (2016) 238-247.
- [19] Vinet N., Higgins M. D., "Magma Solidification Processes beneath Kilauea volcano, Hawaii: A Quantitative Textural and Geochemical Study of the 1969-1974 Mauna Ulu Lavas", Journal of Petrology, 6 (2010) 1297-1332.
- Magazine (2019)  
doi.org/10.1017/S0016756819001158.
- [14] Higgins M.D., "Measurement of crystal size distributions", American Mineralogist 85 (2000) 1105- 1116.
- [15] Bruger C.R., Hammer J.E., "Crystal size distribution analysis of plagioclase in experimentally decompressed hydrous rhyodacite magma", Earth and Planetary Science Letters, 300 (2010) 246-254.
- [16] Marsh B. D., "On the interpretation of crystal size distribution in magmatic systems", Journal of Petrology, 39 (1998) 553-599.